

10/18.

• Chern - Lashof の定理

(例)  $M^n$  --  $n$ 次元、向き付き、コンパクト  $mfd$  $f: M^n \rightarrow R^{n+r}$  -- immersion (はめ込み)

$$p \in M, B_p := \{ u \in T_p(M) \mid \|u\| = 1 \}$$

$$B := \bigcup_{p \in M} B_p \quad (\text{単位法バンドル})$$

 $\hat{\Sigma} \in T(B),$  (D -- ユークリッド空間上の接続)

$$D_X(\hat{\Sigma}) := -d\theta(A_{\hat{\Sigma}}X) + D_X^{\perp}(\hat{\Sigma}) \quad (X \in \mathfrak{X}(M))$$

$$\hat{\Sigma} \in B_p \quad \cdot \quad A_{\hat{\Sigma}}: T_p(M) \rightarrow T_p(M)$$

$$G(p, \hat{\Sigma}) := \det(A_{\hat{\Sigma}})$$

 $\rightarrow$  リンガリキガ曲率

Ex

 $r=1$   $G$  -- \* ガウス・クロネッカー曲率~~r=2~~ $r=1, n=2$   $G$  -- ガウス曲率

$$\text{絶対全曲率 } \tau(M, f) := \frac{1}{\text{Vol}(S^{n+r-1})} \int_B |G| d\mu_B$$

$\downarrow$   $B$  の体積要素

 $\hat{f}$  の

チャール・ラッシュの定理 (1) ~ (3) , 等号の必要十分条件は? (決まっていはい)

$$(1) \tau(M, f) \geq \sum_{i=0}^n b_i(M)$$

$b_i$  次数

$$(2) \tau(M, f) < 3$$

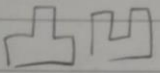
$$\Rightarrow M \cong S^n \quad (S^n \text{ 位相同型})$$

$$(3) \tau(M, f) = 2 \iff \underset{\text{Min}}{f(M)} \text{ が凸な超曲面}$$

(  $(n+1)$  次元  $\mathbb{R}^n$  部分空間の埋め込み )

NOT disproven.

Q

このイメージ:  の度合い

(互換性の定理の一般化)

参考

11-マン多様体へのはめ込み

$$f: M^n \rightarrow (N, g) \quad (K \leq 0) \quad \text{chen (1967)}$$

$$(K = 0) \quad \text{chen (1970)}$$

$$\mathbb{R}^{n+1}_1 \quad (\text{Izumiya 2014})$$

$$\leftarrow \mathbb{C}P^{n+r} (?)$$

$$\mathbb{C}P^n \quad (\text{Hoisington 2022})$$

$$f: M^2 \rightarrow \mathbb{R}^3 \quad \text{--- wave front (波面)}$$

(Kossowski - Scherfner 2005)

$$\tau(M, f) := \frac{1}{2\pi} \int_M \underbrace{|K|}_{\text{平均曲率}} dA + \frac{1}{\pi} \int_{\Sigma_f} |\chi| ds$$



$$\tau(M, f) \geq b_0 + b_1 + b_2$$

残りの疑問点

★ wave front  $\rightarrow$  frontal ?

$$\bullet f: M^2 \rightarrow \mathbb{R}^3 \rightarrow f: M^n \rightarrow \mathbb{R}^{n+r} ?$$

$$\bullet \tau(M, f) = 2 \rightarrow \text{?}$$

## §2 frontal

(文)  $f: M^n \rightarrow \mathbb{R}^{n+r}$

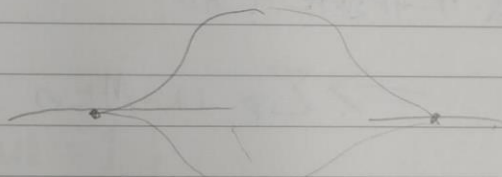
(Def)  $p \in M$  が正則点  $\stackrel{\text{def.}}{\iff} \text{rank}(df)_p = n$

" 特異点  $\iff \text{rank}(df)_p < n$

$f: M^n \rightarrow \mathbb{R}^{n+r}$  が frontal である.

$\iff \forall p \in M, \exists U, \pi: U \rightarrow \tilde{\text{Gr}}(n, n+r)$

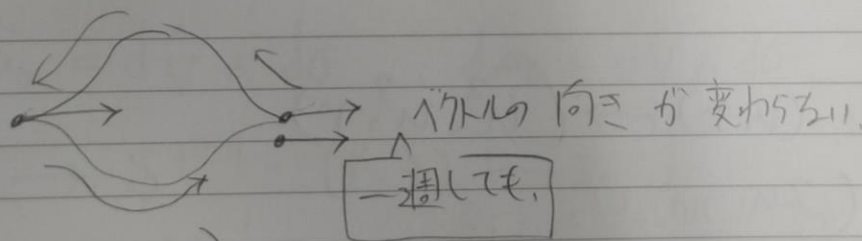
$df_q(X) \in \pi(q), \quad (q \in U, X \in T_q(M))$



( $\pi$  -- 一般化された  
から写像) (特異点で接線が一致する?)

$f$  が 全方向付け可能な frontal

$\stackrel{\text{def.}}{\iff} \pi: M \rightarrow \tilde{\text{Gr}}(n, n+r)$



$(U, U_1, \dots, U_n)$

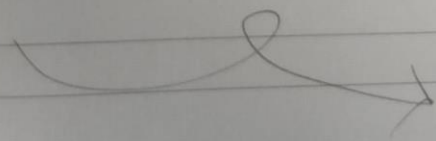
$\lambda := \det \left( \frac{\partial f}{\partial u^1}, \dots, \frac{\partial f}{\partial u^n}, E_1, \dots, E_r \right)$

(signed)  
符号付き体積密度関数

$\pi$  上の正規基底  $\pi$ -4

特異点  $p \in U$  が 非退化である

$\iff (d\lambda)_p \neq 0$





2  
↓  
Lemma

$p$  が非退化である  $\Rightarrow \text{rank}(df)_p = n-1$ .

$$(\dim(\ker(df)_p) = 1)$$

↳ nullspace といふ

$\Sigma_f := f$  の特異集合 といふ,

$f$  全ての特異点が非退化である,

$\Rightarrow \Sigma_p$  は  $M$  上の 超曲面

Def

$p \in \Sigma_f$  ... 非退化

$p$  が 第1種 特異点  $\stackrel{\text{def}}{\iff} \ker(df)_p \not\subset T_p(\Sigma_p)$

$p$  が 第2種 特異点  $\stackrel{\text{def}}{\iff} \ker(df)_p \subset T_p(\Sigma_p)$

Example

$$f: \mathbb{R}^2 \rightarrow \mathbb{R}^3: (u, v) \mapsto (u^2, u^3, v)$$

$$f_u = (2u, 3u^2, 0)$$

$$f_v = (0, 0, 1)$$

$$f_u|_{u=0} = 0 \quad \text{or} \quad \Sigma_f = \{u=0\}$$

$$T_p(\Sigma_f) = \text{span}\{(2v)_p\}$$

$C_f$  --- 第2種 特異点の集合.

~~Def~~

Def (Admissible frontal),

$f: M^n \rightarrow R^{n+r}$  が admissible である.

$\Leftrightarrow \left\{ \begin{array}{l} \bullet \text{ 全1の特異点 が 非退化 である,} \\ \bullet \exists \mathcal{H} = \sum_p \text{の超曲面 s.t. } C_f \subseteq \mathcal{H} \\ \quad (\neq \sum p). \end{array} \right.$

$$B_p = \{ u \in T\mathbb{R}^n \mid \|u\| = 1 \}$$

$$d\hat{V} = \lambda du_1 \wedge du_2 \wedge \dots \wedge du_n$$

$$dV = |\lambda| du_1 \wedge du_2 \wedge \dots \wedge du_n$$

$\nearrow$   $B$  の  $\mathbb{R}^n$  の 体積要素.  
 $d\sigma$

$$\begin{array}{cc} \nabla & \nabla \\ \nabla & \nabla \end{array}$$

$$d\hat{\mu}_B = d\hat{V} \wedge d\sigma, \quad d\mu_B = dV \wedge d\sigma$$

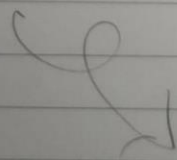
$$V: B \rightarrow S^{n+r-1}; (p, \xi) \mapsto \xi$$

$\hookrightarrow$  canonical な Gauss 写像.

Proposition

$$V^* du_{S^{n+r-1}} = (-1)^n G(p, r) d\hat{\mu}_B$$

$|G(p, \xi)| d\mu_B$  は  $B$  上で 連続 である.



$\varphi$        $rp$        $h$        $kh$        $ft$       frontal

$f: M^n \rightarrow \mathbb{R}^{n+r}$  — admissible frontal

$$\bar{f} = f|_{\Sigma_f} \quad \bar{T}(p) = df_p(T_p(M))$$

$$\bar{\Pi} : \Sigma_f \rightarrow \bar{G}_L(n-1, n+r)$$

$\bar{B}, \bar{G}$  を、それぞれ  $\bar{f}$  に対して  $B, G$  を表わす

Def (絶対全曲率)

$$\tau(M, f) := \frac{1}{\text{Vol}(S^{n+r-1})} \int_B |G| d\mu_B$$

Theorem (A)

$$(1) \tau(M, f) \geq \sum_{i=0}^n b_i(M)$$

$$(2) \tau(M, f) < 3, \quad M \cong S^n, \quad \boxed{n+1\text{-次元}}$$

$$(3) \tau(M, f) = 2 \implies f(M) \text{ は } \mathbb{R}^{n+r} \text{ の部分空間の部分集合}$$

Theorem (B)

$\Sigma_f \neq \emptyset$ , 全ての特異点は第1種特異点とする

$$\tau(M, f) = 2 \iff \left\{ \begin{array}{l} \bullet f(M) \text{ は } n\text{-次元 } \mathbb{R}^{n+r} \text{ の閉じた凸領域} \\ \bullet M \cong S^n, \Sigma_f \cong S^{n-1} \\ \bullet f(\Sigma_f) = 2f(M) \end{array} \right.$$



21

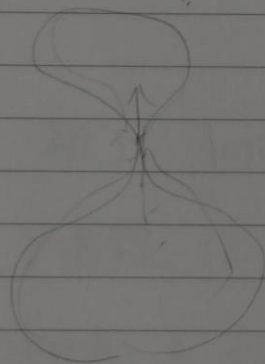
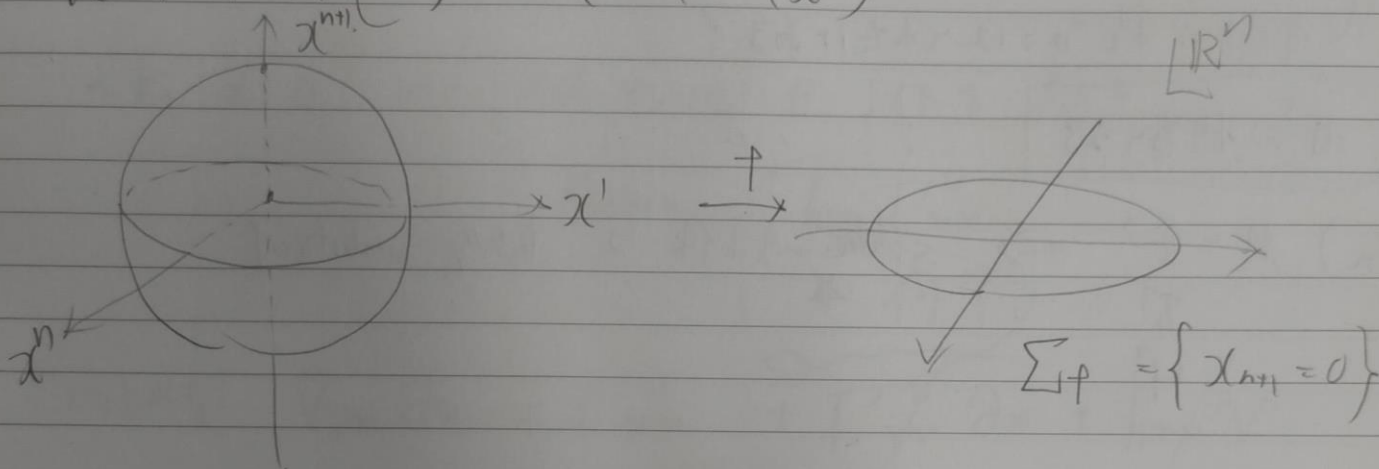
Kichimura

Example

$$f: S^n \rightarrow \mathbb{R}^n,$$

→ 3:1, 1

$$f(x^1, \dots, x^n, x^{n+1}) = (x^1, \dots, x^n)$$


 $\tau(M, f) = 3$  の場合の例

分が3なり〜

(例  $\tau(M, f) = 4$  の例

⇒ 4回転コース)